

Lantanoidy a aktinoidy

Medzi *lantanoidy* (všeobecne označované symbolom *Ln*) zaraďujeme štrnásť prvkov nasledujúcich po lantáne, t. j. prvky s atómovými číslami 58 – 71. Podobne, štrnásť prvkov nasledujúcich po aktíniu, t. j. prvky s atómovými číslami 90 – 103, zaraďujeme medzi *aktinoidy* (všeobecne označované symbolom *An*).

	1.	2.	3.	4.	5.	6.	7.	8.	9.	10.	11.	12.	13.	14.	15.	16.	17.	18.		
1.																			He	
2.	Li	Be													B	C	N	O	F	Ne
3.	Na	Mg													Al	Si	P	S	Cl	Ar
4.	K	Ca	Sc	Ti	V	Cr	Mn	Fe	Co	Ni	Cu	Zn	Ga	Ge	As	Se	Br	Kr		
5.	Rb	Sr	Y	Zr	Nb	Mo	Tc	Ru	Rh	Pd	Ag	Cd	In	Sn	Sb	Te	I	Xe		
6.	Cs	Ba	La – Lu	Hf	Ta	W	Re	Os	Ir	Pt	Au	Hg	Tl	Pb	Bi	Po	At	Rn		
7.	Fr	Ra	Ac – Lr	Unq	Unp	Unh	Uns	Uno	Une									
La – Lu Ac – Lr			La	Ce	Pr	Nd	Pm	Sm	Eu	Gd	Tb	Dy	Ho	Er	Tm	Yb	Lu			
			Ac	Th	Pa	U	Np	Pu	Am	Cm	Bk	Cf	Es	Fm	Md	No	Lr			

Temperature



+

20

°C

68

°F

293

K

	1	2	3	4	5	6	7	8	9	10	11	12	13	14	15	16	17	18
1	H Hydrogen 1.008	Atomic Symbol Name Weight	C Solid	Hg Liquid	Alkali metals	Metals	Lanthanoids	Post-transition metals	Metalloids	Nonmetals	Reactive nonmetals	Noble gases	B Boron 10.81	C Carbon 12.011	N Nitrogen 14.007	O Oxygen 15.999	F Fluorine 18.998	He Helium 4.0026
2	Li Lithium 6.94	Be Beryllium 9.0122	H Gas	Mg Magnesium 24.305	Rf Unknown	Alkaline earth metals	Actinoids	Transition metals					Al Aluminium 26.982	Si Silicon 28.085	P Phosphorus 30.974	S Sulfur 32.06	Cl Chlorine 35.45	Ne Neon 20.180
3	Na Sodium 22.990												Ga Gallium 69.723	Ge Germanium 72.630	As Arsenic 74.922	Se Selenium 78.971	Br Bromine 79.904	Kr Krypton 83.798
4	K Potassium 39.098	Ca Calcium 40.078	Sc Scandium 44.956	Ti Titanium 47.867	V Vanadium 50.942	Cr Chromium 51.996	Mn Manganese 54.938	Fe Iron 55.845	Co Cobalt 58.933	Ni Nickel 58.693	Cu Copper 63.546	Zn Zinc 65.38	In Indium 114.82	Sn Tin 118.71	Sb Antimony 121.76	Te Tellurium 127.60	I Iodine 126.90	Xe Xenon 131.29
5	Rb Rubidium 85.468	Sr Strontium 87.62	Y Yttrium 88.906	Zr Zirconium 91.224	Nb Niobium 92.906	Mo Molybdenum 95.95	Tc Technetium (98)	Ru Ruthenium 101.07	Rh Rhodium 102.91	Pd Palladium 106.42	Ag Silver 107.87	Cd Cadmium 112.41	In Indium 114.82	Sn Tin 118.71	Sb Antimony 121.76	Te Tellurium 127.60	I Iodine 126.90	Xe Xenon 131.29
6	Cs Caesium 132.91	Ba Barium 137.33	57-71	Hf Hafnium 178.49	Ta Tantalum 180.95	W Tungsten 183.84	Re Rhenium 186.21	Os Osmium 190.23	Ir Iridium 192.22	Pt Platinum 195.08	Au Gold 196.97	Hg Mercury 200.59	Tl Thallium 204.38	Pb Lead 207.2	Bi Bismuth 208.98	Po Polonium (209)	At Astatine (210)	Rn Radon (222)
7	Fr Francium (223)	Ra Radium (226)		Rf Rutherfordium (267)	Db Dubnium (268)	Sg Seaborgium (269)	Bh Bohrium (270)	Hs Hassium (277)	Mt Meitnerium (278)	Ds Damstadtium (281)	Rg Roentgenium (282)	Cn Copernicium (285)	Nh Nihonium (286)	Fl Flerovium (289)	Mc Moscovium (290)	Lv Livermorium (293)	Ts Tennessine (294)	Og Oganesson (294)
For elements with no stable isotopes, the mass number of the isotope with the longest half-life is in parentheses.																		
6	La Lanthanum 138.91	Ce Cerium 140.12	Pr Praseodymium 140.91	Nd Neodymium 144.24	Pm Promethium (145)	Sm Samarium 150.36	Eu Europium 151.96	Gd Gadolinium 157.25	Tb Terbium 158.93	Dy Dysprosium 162.50	Ho Holmium 164.93	Er Erbium 167.26	Tm Thulium 168.93	Yb Ytterbium 173.05	Lu Lutetium 174.97			
	Ac Actinium (227)	Th Thorium 232.04	Pa Protactinium 231.04	U Uranium 238.03	Np Neptunium (237)	Pu Plutonium (244)	Am Americium (243)	Cm Curium (247)	Bk Berkelium (247)	Cf Californium (251)	Es Einsteinium (252)	Fm Fermium (257)	Md Mendelevium (258)	No Nobelium (259)	Lr Lawrencium (266)			

Elektrónová konfigurácia a väzbové vlastnosti lantanoidov a aktinoidov

Pri atómoch **lantanoidov** sa s určitými nepravidelnosťami zapĺňajú orbitály **4f**. Majú teda elektrónovú konfiguráciu valenčnej vrstvy $4f^{1-14}5d^0-16s^2$. V elektrónových konfiguráciách katiónov lantanoidov Ln^{3+} a aktinoidov An^{3+} však platí prísna pravidelnosť, počet elektrónov v **4f-** a **5f-** orbitáloch pravidelne narastá od 1 do 14.

$_{57}La$	$_{58}Ce$	$_{59}Pr$	$_{60}Nd$	$_{61}Pm$	$_{62}Sm$	$_{63}Eu$	$_{64}Gd$	$_{65}Tb$	$_{66}Dy$	$_{67}Ho$	$_{68}Er$	$_{69}Tm$	$_{70}Yb$	$_{71}Lu$
*[Xe]	[Xe]	[Xe]	[Xe]	[Xe]	[Xe]	[Xe]	*[Xe]	[Xe]						
$6s^2$														
$4f^0$	$4f^2$	$4f^3$	$4f^4$	$4f^5$	$4f^6$	$4f^7$	$4f^7$	$4f^8$	$4f^{10}$	$4f^{11}$	$4f^{12}$	$4f^{13}$	$4f^{14}$	$4f^{14}$
$5d^1$	$5d^0$	$5d^0$	$5d^0$	$5d^0$	$5d^0$	$5d^0$	$5d^1$	$5d^0$	$5d^0$	$5d^0$	$5d^0$	$5d^0$	$5d^0$	$5d^1$

Tabuľka 22.2 Elektrónové konfigurácie aktinia a aktinoidov

$_{89}Ac$	$_{90}Th$	$_{91}Pa$	$_{92}U$	$_{93}Np$	$_{94}Pu$	$_{95}Am$	$_{96}Cm$	$_{97}Bk$	$_{98}Cf$	$_{99}Es$	$_{100}Fm$	$_{101}Md$	$_{102}No$	$_{103}Lr$
*[Rn]	*[Rn]	*[Rn]	*[Rn]	*[Rn]	[Rn]	[Rn]	*[Rn]	[Rn]	[Rn]	[Rn]	[Rn]	[Rn]	[Rn]	[Rn]
$7s^2$	$7s^2$	$7s^2$	$7s^2$	$7s^2$	$7s^2$	$7s^2$	$7s^2$	$7s^2$	$7s^2$	$7s^2$	$7s^2$	$7s^2$	$7s^2$	$7s^2$
$5f^0$	$5f^0$	$5f^2$	$5f^3$	$5f^4$	$5f^6$	$5f^7$	$5f^7$	$5f^8$	$5f^{10}$	$5f^{11}$	$5f^{12}$	$5f^{13}$	$5f^{14}$	$5f^{14}$
$6d^1$	$6d^2$	$6d^1$	$6d^1$	$6d^1$	$6d^0$	$6d^0$	$6d^1$	$6d^0$	$6d^0$	$6d^0$	$6d^0$	$6d^0$	$6d^0$	$6d^1$

* nezhoda s výstavbovým princípom

Elektrónové konfigurácie lantánu a lantanoidov

Pretože lantanoidy a aktinoidy zapĺňajú postupne svoje **f**-orbitály, nazývame ich spoločným názvom **f-prvky**.

Prvky vzácných zemín -

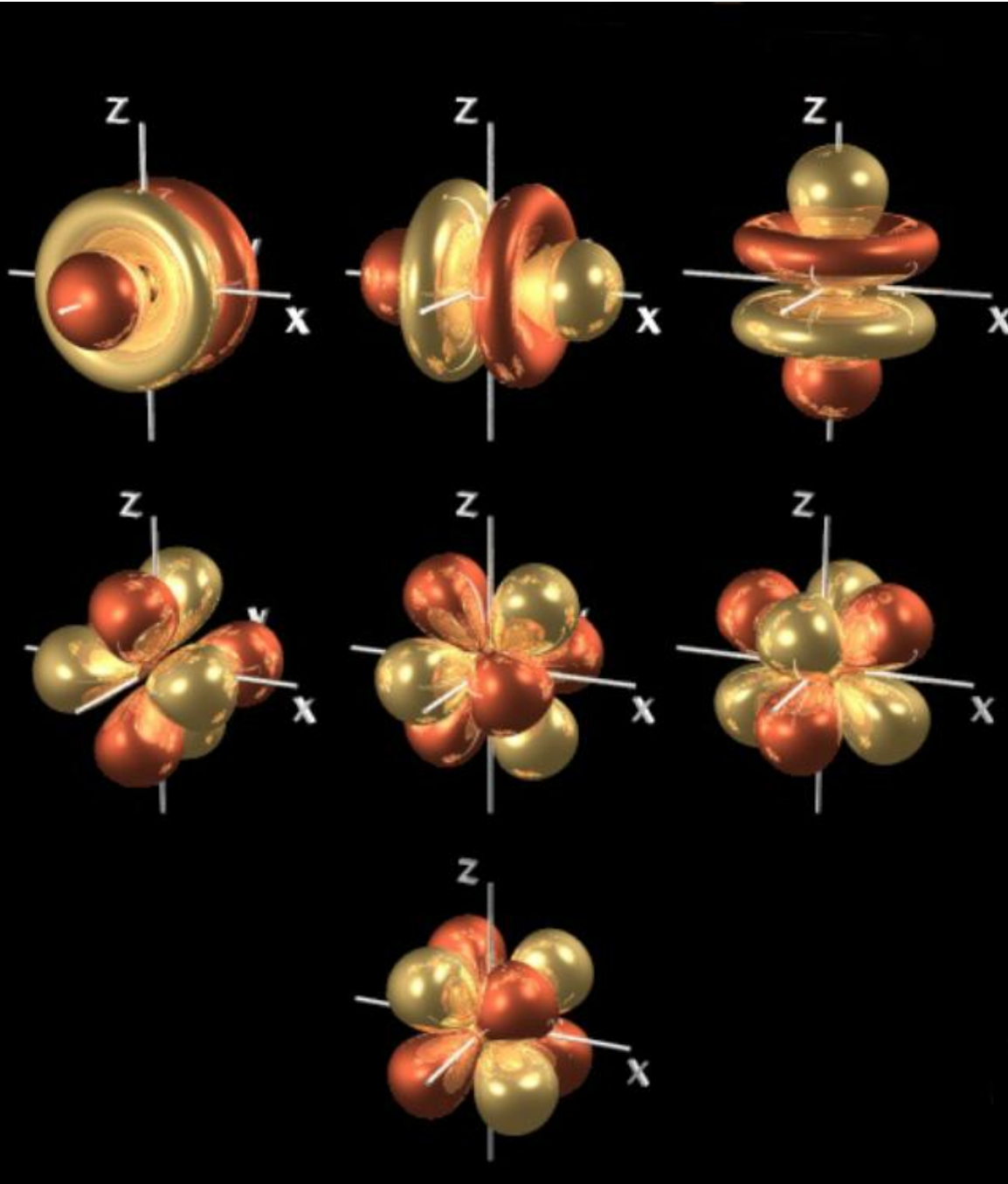
3. skupina PSCH + lantanoidy

The periodic table highlights the 3rd group (PSCH) and the Lanthanoid series.

3. skupina PSCH: Scandium (Sc), Yttrium (Y), Lanthanum (La).

Lantanoidy (Lanthanide series): Cerium (Ce), Praseodymium (Pr), Neodymium (Nd), Promethium (Pm), Samarium (Sm), Europium (Eu), Gadolinium (Gd), Thulium (Tb), Dysprosium (Dy), Holmium (Ho), Erbium (Er), Thulium (Tm), Ytterbium (Yb), Lutetium (Lu).

Grupa	Symbol	Číslo atomové	Masa atomová
3	Sc	21	44.96
57	La	57	138.9
6	Ce	58	140.1
7	Pr	59	140.9
	Nd	60	144.2
	Pm	61	(147)
	Sm	62	150.4
	Eu	63	152
	Gd	64	157.3
	Tb	65	158.9
	Dy	66	162.5
	Ho	67	164.9
	Er	68	167.3
	Tm	69	168.9
	Yb	70	173
	Lu	71	175


$$4f_y^3 \quad 4f_x^3 \quad 4f_z^3$$
$$4f_{x(z^2 - y^2)}^2 \quad 4f_{y(z^2 - x^2)}^2 \quad 4f_{z(x^2 - y^2)}^2$$
$$4f_{xyz}$$

Zapĺňanie valenčných orbitálov daného atómu elektrónmi viedie vo všeobecnosti k nárastu jeho rozmerov. Keďže elektróny kompenzujúce postupne narastajúci náboj jadra lantanoidov a aktinoidov obsadzujú „vnútorné“ f-orbitály, a nie orbitály valenčnej vrstvy, dochádza u nich iba k zväčšovaniu pritiahovania elektrónov jadrom a teda naopak, k postupnému zmenšovaniu rozmerov atómov. Tento jav sa nazýva

lantanoidová, resp. aktinoidová kontrakcia.

Vlastnosti lantanoidov a aktinoidov

Lantanoidy sú striebrobiele mäkké, t'ažné a kujné kovy so značne zápornými štandardnými elektródovými potenciálmi $E^\circ(\text{Ln}^{n+}|\text{Ln})$, ktorých hustota a tvrdosť sa zvyšuje s rastúcim atómovým číslom. Výnimkou je len Eu a Yb. Lantanoidy sú reaktívne kovy, na vzduchu alebo v kyslíku reagujú na oxidy: cér na CeO_2 , prazeodým a terbium na zložité oxidy približného zloženia Pr_6O_{11} a Tb_4O_7 a ostatné lantanoidy na oxidy Ln_2O_3 . Pri zvýšenej teplote reagujú lantanoidy s väčšinou nekovov. S halogénmi dávajú príslušné halogenidy LnX_3 , s vodíkom reagujú na hydridy LnH_2 a LnH_3 .

Lantanoidy sa v prírode vyskytujú vo viac ako sto mineráloch, a teda nepatria medzi vzácne prvky. Najhojnejšie sa vyskytuje cér, ktorého je asi 26-krát viac ako ostatných lantanoidov.

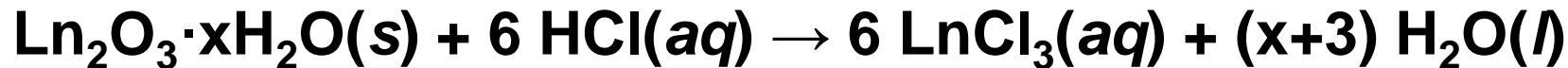
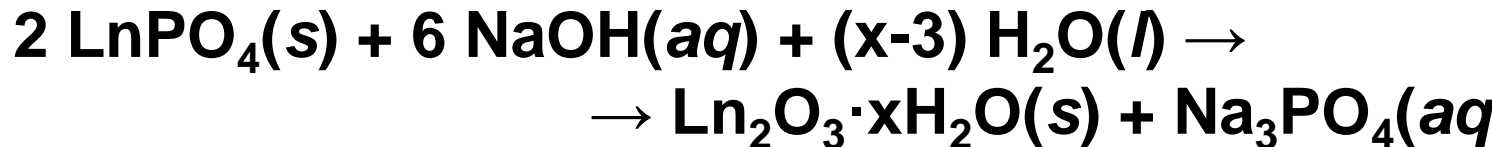
Čisté kovové lantanoidy sa získavajú ťažko, pretože sa ľahko oxidujú a majú vysoké teploty topenia. Zmesi kovových lantanoidov, cér, samárium, európium a yterbium sa vyrábajú elektrolýzou roztavenej zmesi chloridov LnCl_3 s chloridom sodným alebo vápenatým. Okrem samária, európia a yterbia možno lantanoidy pripraviť aj metalotermickou reakciou bezvodých halogenidov vápnikom, horčíkom alebo sodíkom.

Aktinoidy sú taktiež striebrolesklé kovy, ktoré ochotne reagujú s väčšinou nekovov, predovšetkým pri zvýšenej teplote. **Na vzduchu sa pasivujú**, t. j. pokrývajú sa vrstvičkou oxidov, ktorá ich chráni pred ďalšou oxidáciou. S vodíkom reagujú na hydridy, s chlórom a brómom dávajú chloridy a bromidy a so sírou sulfidy. **Aktinoidy sú neušľachtilé kovy, ochotne reagujúce aj s vodou, pričom sa pokrývajú vrstvičkou oxidov za súčasného uvoľňovania vodíka.**

Získanie z rúd

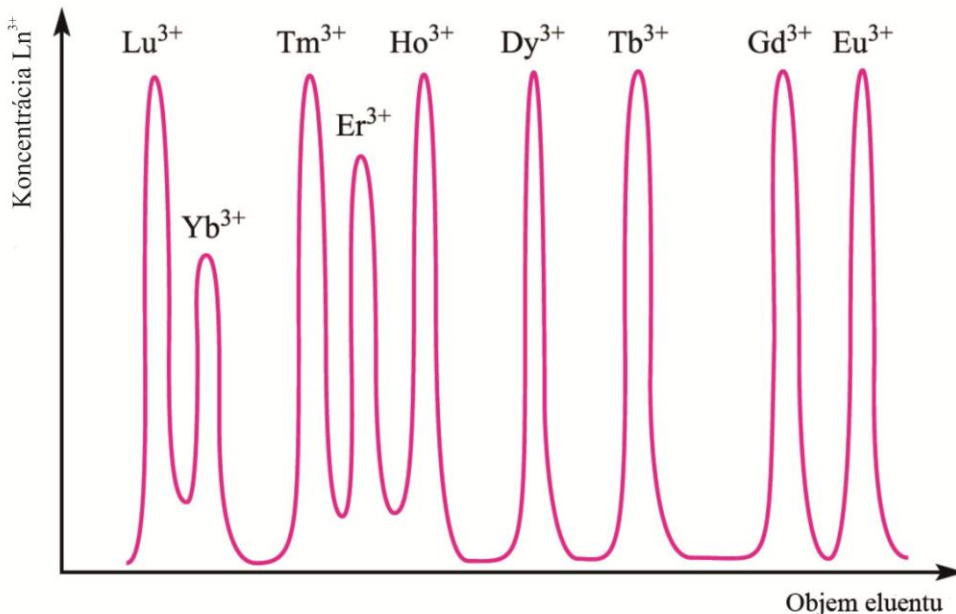
LnCO_3F – *bastnasite*, $(\text{Ln},\text{Th})\text{PO}_4$ – *monazite*

$(\text{Y},\text{Ln})\text{PO}_4$ – *xenotime*



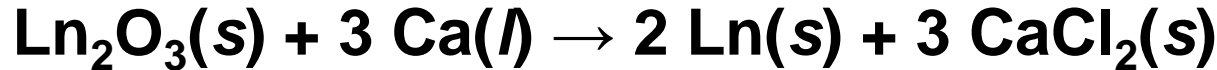
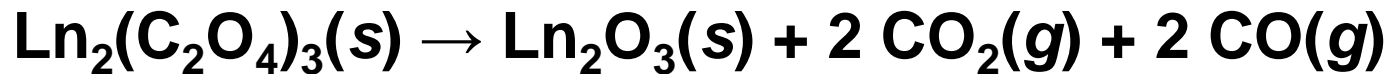
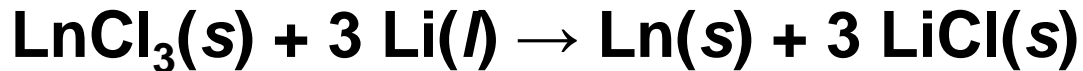
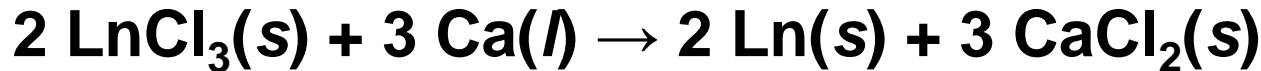
Získavanie z rúd

- Produkcia hlavne oxidov M^{III}
- Úprava rudy, odstránenie PO₄³⁻ – reakcia s NaOH,
- Odstránenie Th – reakcia hydratovaných oxidov s HCl (ThO₂ nereaguje), vznik LnCl₃
- Nasleduje extrakcia s PO(*n*BuO)₃, alebo iónomeniče:
$$\text{Ln}^{3+}(\text{aq}) + 3\text{H}^+(\text{živica}) \rightarrow \text{Ln}^{3+}(\text{živica}) + 3\text{H}^+(\text{aq})$$



**Poradie elúcie
komplexov
lantanoidov s EDTA⁴⁻
z kolóny iónomeniča**

Získavanie lantanoïdov



elektrol. v tavenine s NaCl alebo KCl

Tórium a urán, a vo veľmi malom množstve aj protaktínium a plutónium, sa získavajú z nerastov. Väčšie množstvá plutónia sa získavajú z uránu 238 v jadrových reaktoroch. Ostatné aktinoidy sa získavajú výhradne jadrovou syntézou. Kovové tórium možno získať reakciou ThO_2 , alebo ThCl_4 s vápnikom v argónovej atmosfére.



Kovový urán a plutónium sa získavajú z fluoridov reakciou s horčíkom alebo vápnikom



Zlúčeniny lantanoidov

Reakciou lantanoidov s vodíkom pri zvýšenej teplote ($t = 300$ až 350 °C) vznikajú reaktívne, pevné, čierne *hydrydy* všeobecného vzorca LnH_2 . Pri veľkých tlakoch sa do ich štruktúry dostávajú ďalšie atómy vodíka, čím vznikajú hydrydy LnH_3 . Výnimkou sú len Eu a Yb, ktoré ochotnejšie vystupujú v stavoch s oxidačným číslom II.

S *kyslíkom* tvoria lantanoidy *oxidy* LnO , LnO_2 , Ln_2O_3 a „nestechiometrické“ oxidy LnO_n . Všetky známe *oxidy* lantanoidov typu Ln_2O_3 sú dobre preskúmané. Dajú sa pripraviť spaľovaním lantanoidov v kyslíku, alebo žíhaním príslušných hydroxidov, uhličitanov, príp. dusičnanov. Výnimkou sú oxidy Ce_2O_3 , Pr_2O_3 a Tb_2O_3 , ktoré sa získavajú zo stabilnejších oxidov (CeO_2 , Pr_6O_{11} , Tb_4O_7) kontrolovanou redukciami vodíkom. **Oxidy Ln_2O_3 majú zásadité vlastnosti**, sú ľahko taviteľné, schopné reagovať s vodou za vzniku *hydroxidov* Ln(OH)_3 .

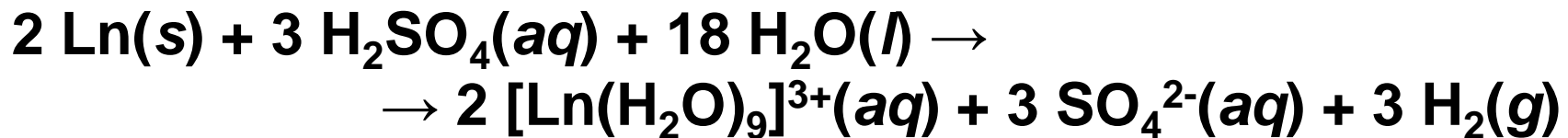
Chalkogenidy lantanoidov v nižšom oxidačnom stave, s podobnou stechiometriou ako majú oxidy, sú známe pri väčšom počte lantanoidov, ich charakterizácia je však dostať t'ažká, pretože majú prevažne nestechiometrické zloženie a v mnohých prípadoch u nich dochádza k fázovým premenám. Vo všeobecnosti sú však chalkogenidy lantanoidov stále na suchom vzduchu, ale vplyvom vlhkosti hydrolyzujú.

Lantanoidy tvoria **halogenidy** LnX_2 , LnX_3 , LnX_4 a LnX_n . Halogenidy LnX_3 sú známe pri všetkých lantanoidoch okrem prométia. Bezvodé halogenidy LnX_3 sú t'ažko taviteľné kryštalické látky s iónovou štruktúrou. Málorozpustné trifluoridy $\text{LnF}_3 \cdot 0,5 \text{ H}_2\text{O}$ možno získať reakciou fluorovodíka s dusičnanmi príslušných lantanoidov vo vodnom roztoku.

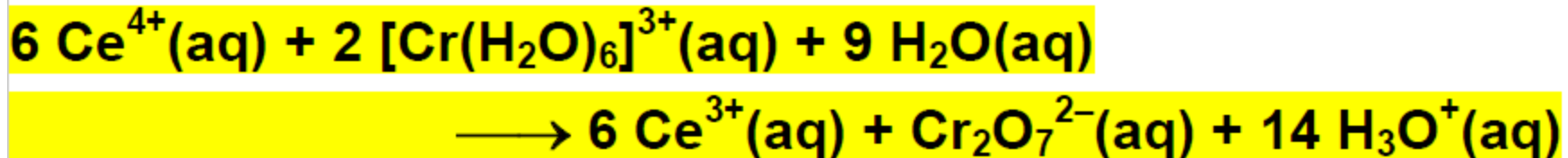
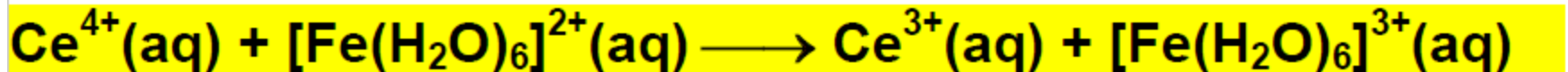
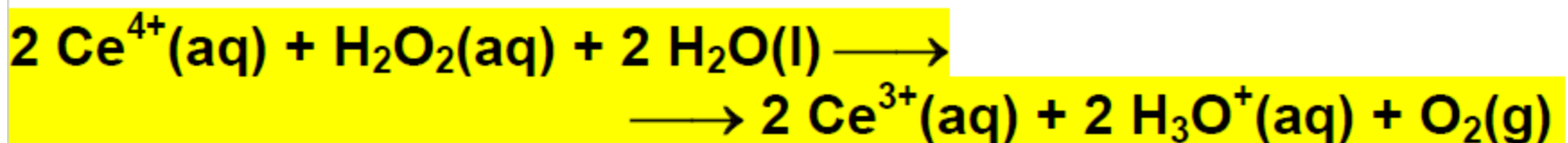


Chloridy, bromidy a jodidy LnX_3 možno pripraviť reakciami oxidov alebo uhličitanov s halogénovodíkmi vo vodných roztokoch, z ktorých kryštalizujú ako hydráty.

Reakcie lantanoidov



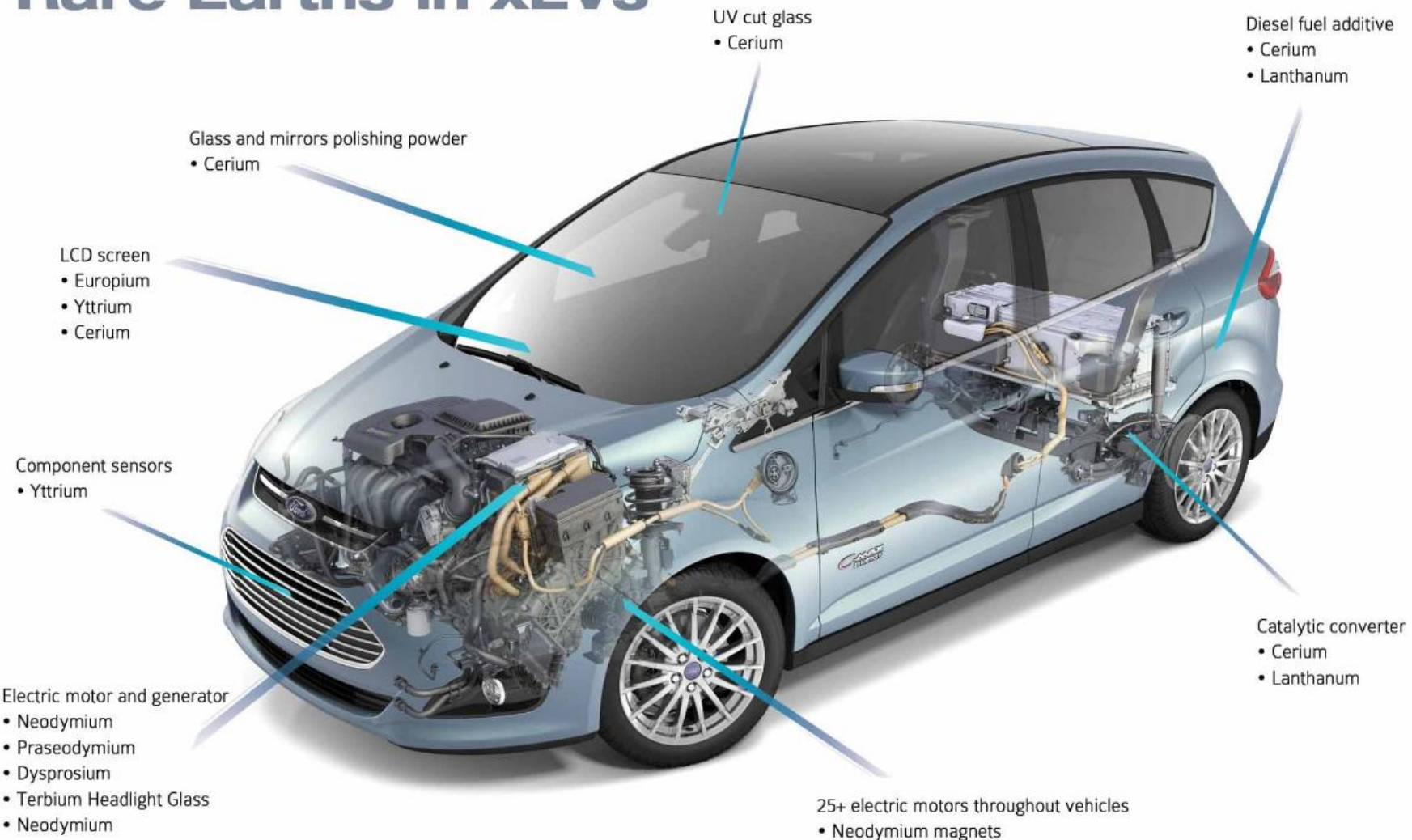
Zo **soli oxokyselín** lantanoidov Ln^{III} sú vo vode rozpustné len dusičnany. Sírany, uhličitaný a fosforečnany sú prakticky nerozpustné. Soli a roztoky obsahujúce hydratované ióny $\text{Ln}^{3+}(\text{aq})$ majú pozoruhodné magnetické a spektrálne vlastnosti. Ceričité soli sú účinnými oxidovadlami, pričom sa redukujú na **soli cerité**. Využívajú sa napr. v kvantitatívnej odmernej analýze (**cerimetria**), napr. pri stanovovaní peroxidu vodíka, železnatých, chromitých, arzenitých, antimonitých a cínatých solí



Využitie

- Katalyzátory v autách – oxidy céru
$$2 \text{Ce}_2\text{O}_3 + \text{O}_2 \rightarrow 4 \text{CeO}_2,$$
$$2 \text{CeO}_2 + \text{CO} \rightarrow \text{Ce}_2\text{O}_3 + \text{CO}_2$$
- Luminofóry v eurobankovkách – komplexy Eu
- Kontrastné látky v MRI – komplexy Gd^{III} (7 nesp. e⁻)
- Obrazovky (CRT, LCD) – Eu, Tb
- Povrch CD, DVD – Tb-Fe-Co, Dy
- Halogénové lampy na štadiónoch, pódiách... (ScI_3 , TmI_3 , DyI_3 , HoI_3)

Rare Earths in xEVs



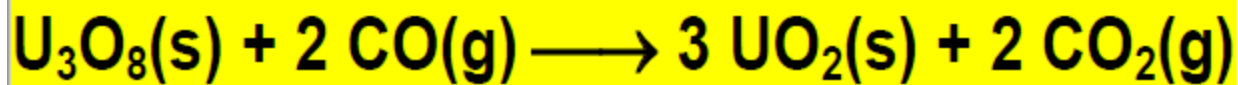
Zlúčeniny aktinoidov

Zlúčeniny aktinoidov s väčšinou nekovov možno jednoducho pripraviť zahriatím zmesí týchto prvkov. Takýmto spôsobom boli získané napr. *hydridy* AnH_2 tória, neptúnia, plutónia, amerícia a curia a AnH_3 protaktínia až amerícia, ktoré nie sú termicky príliš stále a proti vzduchu a vlhkosti sú úplne nestále.

Všetky *oxidy* aktinoidov sú žiaruvzdorné látky. ThO_2 , jediný známy oxid tória, má dokonca najvyššiu teplotu topenia spomedzi všetkých oxidov ($t = 3390\ ^\circ\text{C}$). Oxidy aktinoidov **bežne vykazujú nestechiometrické zloženie** a existujú v podobe prechodných fáz, preto sú to mimoriadne zložité systémy.

Zahrievaním **oxidu uránového** UO_3 na teplotu $t = 800$ až 900 °C vzniká U_3O_8 (minerál **smolinec**), a redukciou vodíkom, alebo sulfánom **vzniká celý rad nestechiometrických oxidov**.

Oxid uraničitý UO_2 , používaný ako jadrové palivo v termálnych jadrových reaktoroch, možno pripraviť redukciou oxidu U_3O_8 oxidom uhoľnatým.



Počínajúc plutóniom, rastie aj stabilita oxidov An_2O_3 , ktoré sú štruktúrnymi analógmi oxidov lantanoidov Ln_2O_3 .

Hydroxidy aktinoidov sú väčšinou ľahko definovateľné gélovité zrazeniny, rozpustné v kyselinách. Pripravujú sa príďavkom alkalického hydroxidu k vodným roztokom solí aktinoidov.

Zloženie **halogenidov** aktinoidov sa mení od AnX_2 do AnX_6 . Z halogenidov AnX_6 sú známe len fluoridy uránu, neptúnia a plutónia a UCl_6 , ktorý sa pripravuje reakciou AlCl_3 s UF_6 . Sú to silné oxidovadlá a sú mimoriadne citlivé na vlhkosť.

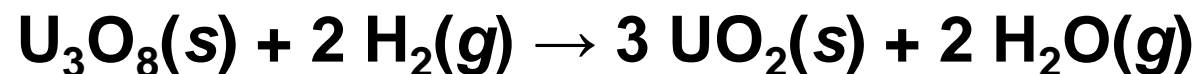
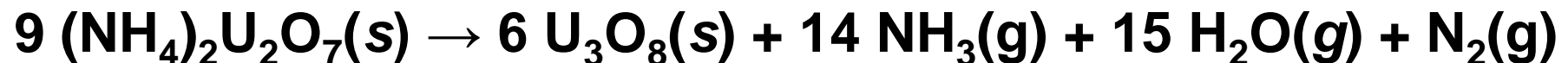
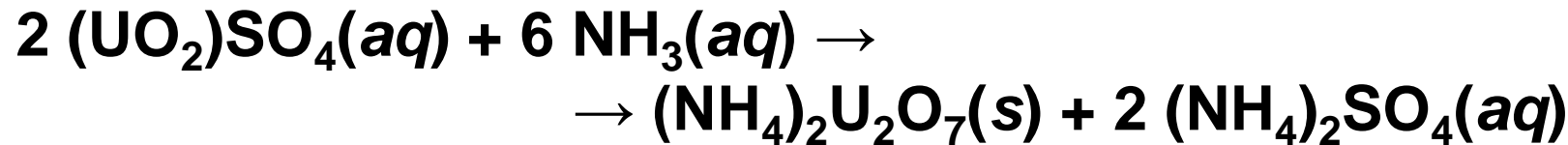
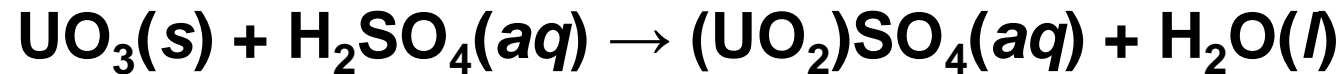
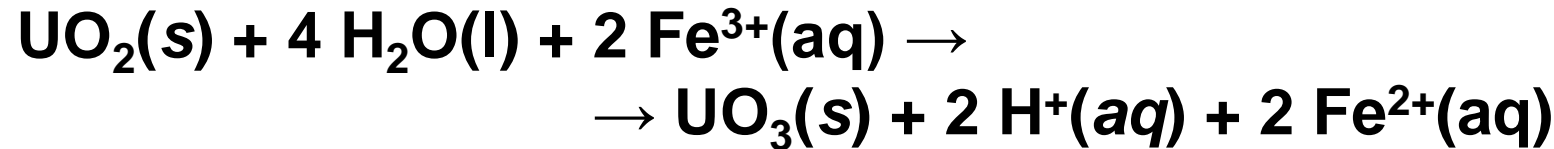


Fluoridy AnF_6 sa pripravujú reakciou fluoridov AnF_4 s fluórom.

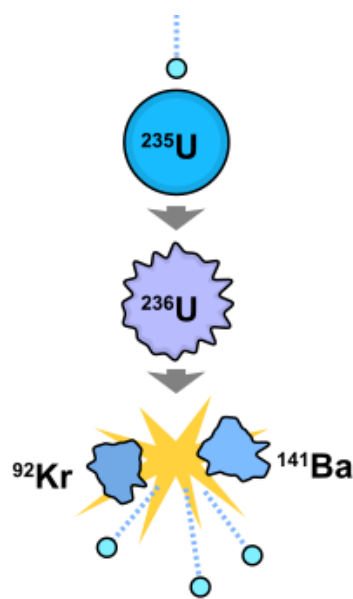


Halogenidy aktinoidov typu AnX_3 sú najviac zastúpenými halogenidmi aktinoidov a v mnohom sa podobajú na halogenidy lantanoidov LaX_3 . Fluoridy aktinoidov AnF_3 sú vo vode málorozpustné látky s vysokou teplotou topenia. Z vodných roztokov kryštalizujú ako monohydráty. Ostatné halogenidy aktinoidov sú vo vode rozpustné a z vodných roztokov kryštalizujú ako hexahydráty. Boridy, karbidy, silicidy a nitridy aktinoidov sú väčšinou chemicky menej reaktívne.

Výroba a čistenie uránu



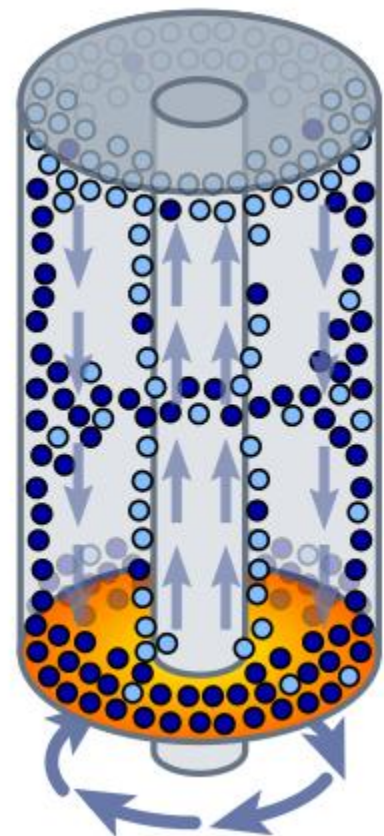
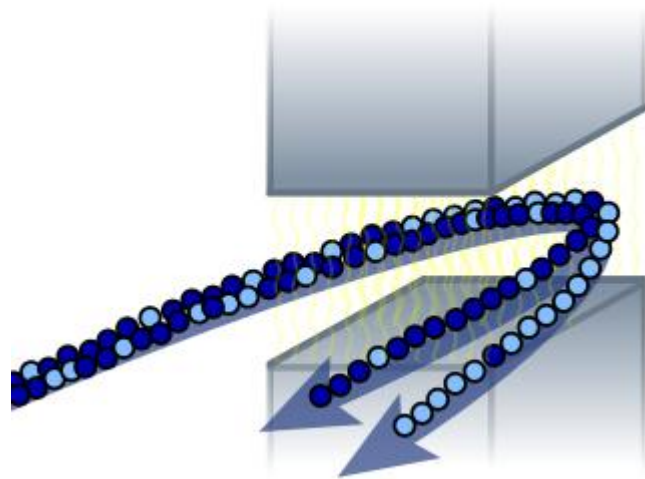
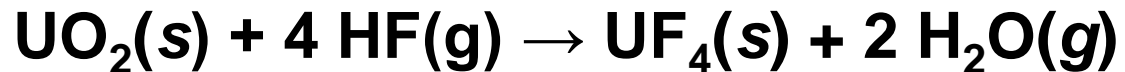
Separácia ^{235}U a ^{238}U



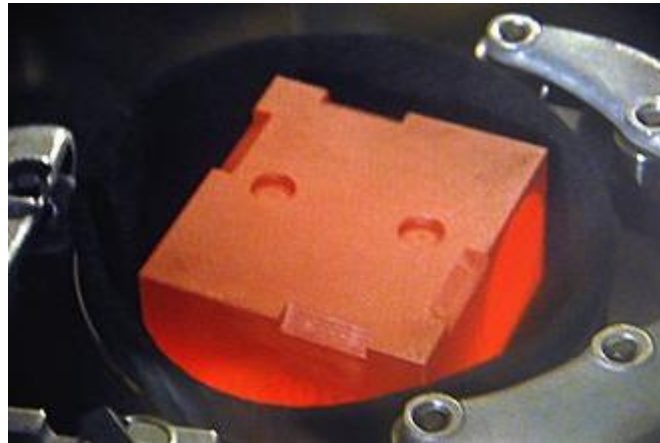
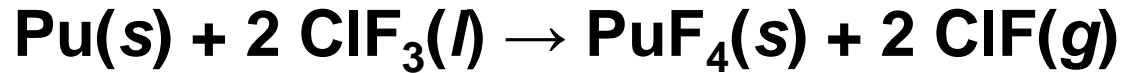
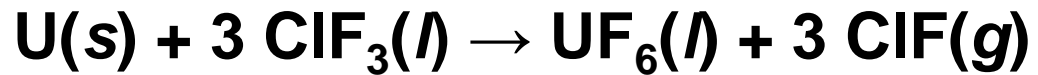
Isotope			Decay	
	abundance	half-life ($t_{1/2}$)	mode	product
^{232}U	syn	68.9 y	SF	-
			α	^{228}Th
^{233}U	trace	1.592×10^5 y	SF	-
			α	^{229}Th
^{234}U	0.005%	2.455×10^5 y	SF	-
			α	^{230}Th
^{235}U	0.720%	7.04×10^8 y	SF	-
			α	^{231}Th
^{236}U	trace	2.342×10^7 y	SF	-
			α	^{232}Th
^{238}U	99.274%	4.468×10^9 y	α	^{234}Th
			SF	-
			$\beta^- \beta^-$	^{238}Pu



Separácia ^{235}U a ^{238}U



Delenie U a Pu



Ukladanie rádioaktívneho odpadu je v súčasnosti veľmi vážny ekologický problém. Ak sú odpady skladované v kvapalnom stave, hrozí nebezpečie, že pri porušení obalu kontajnera dôjde k úniku rádioaktívneho odpadu. Nebezpečenstvo je hlavne u odpadov s vysokou úrovňou rádioaktivity, ktoré vykazujú niekoľko stoviek Curie/liter, čo **vyžaduje skladovanie až 100 000 rokov**, kym rádioaktivita klesne na úroveň uránovej rudy.



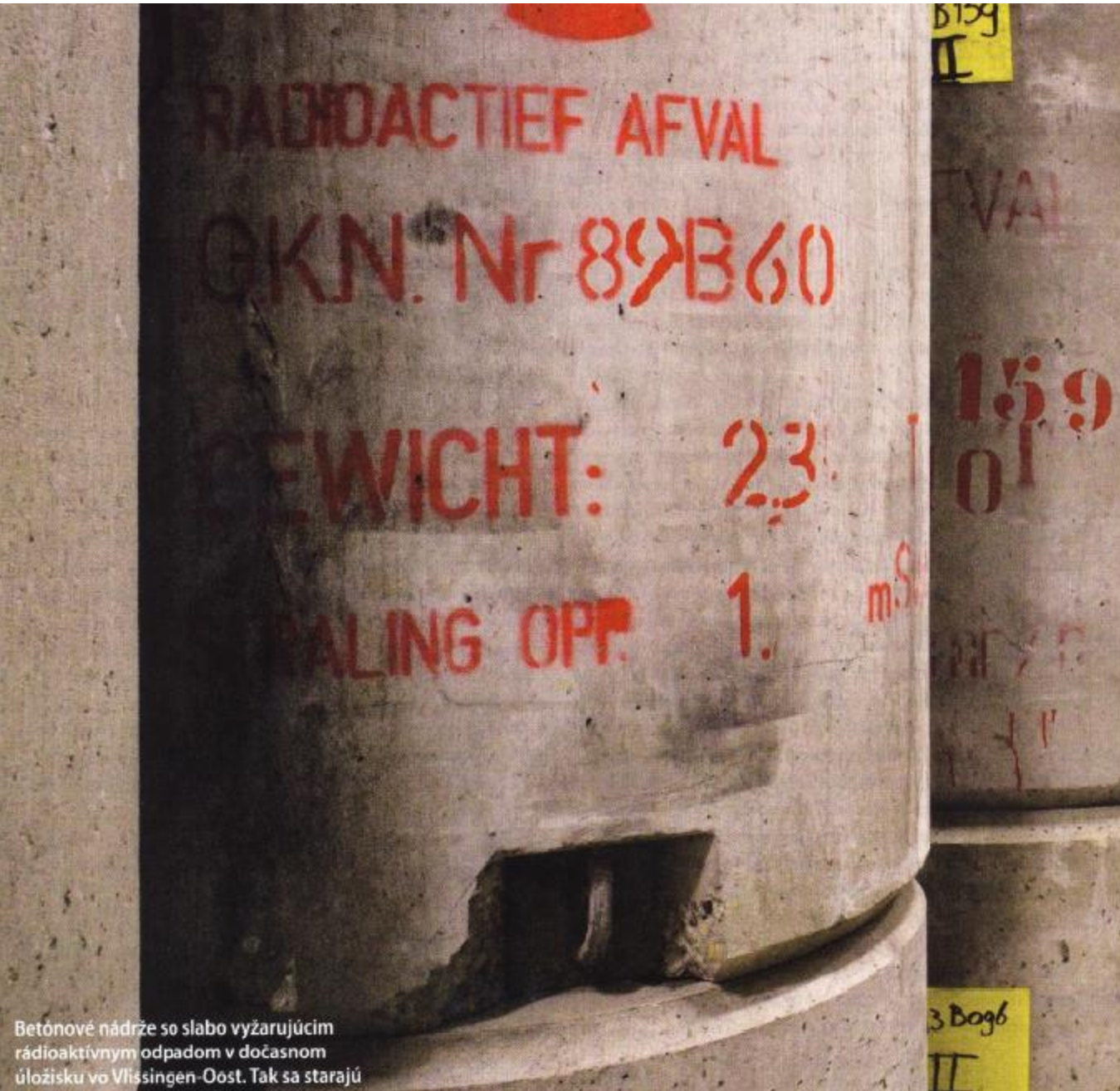
Kam s ním?

Už viac ako 50 rokov sa hromadí odpad z atómových elektrární a výroby atómových zbraní a vytvára najnebezpečnejšiu skládku na svete. Riešenie definitívneho bezpečného uloženia sa však nečrtá v nijakej krajine.

1. jadrová elektráreň	Obninsk (110 km od Moskvy)
súčasnosť (2011):	31 krajín 435 reaktorov (104 v USA)



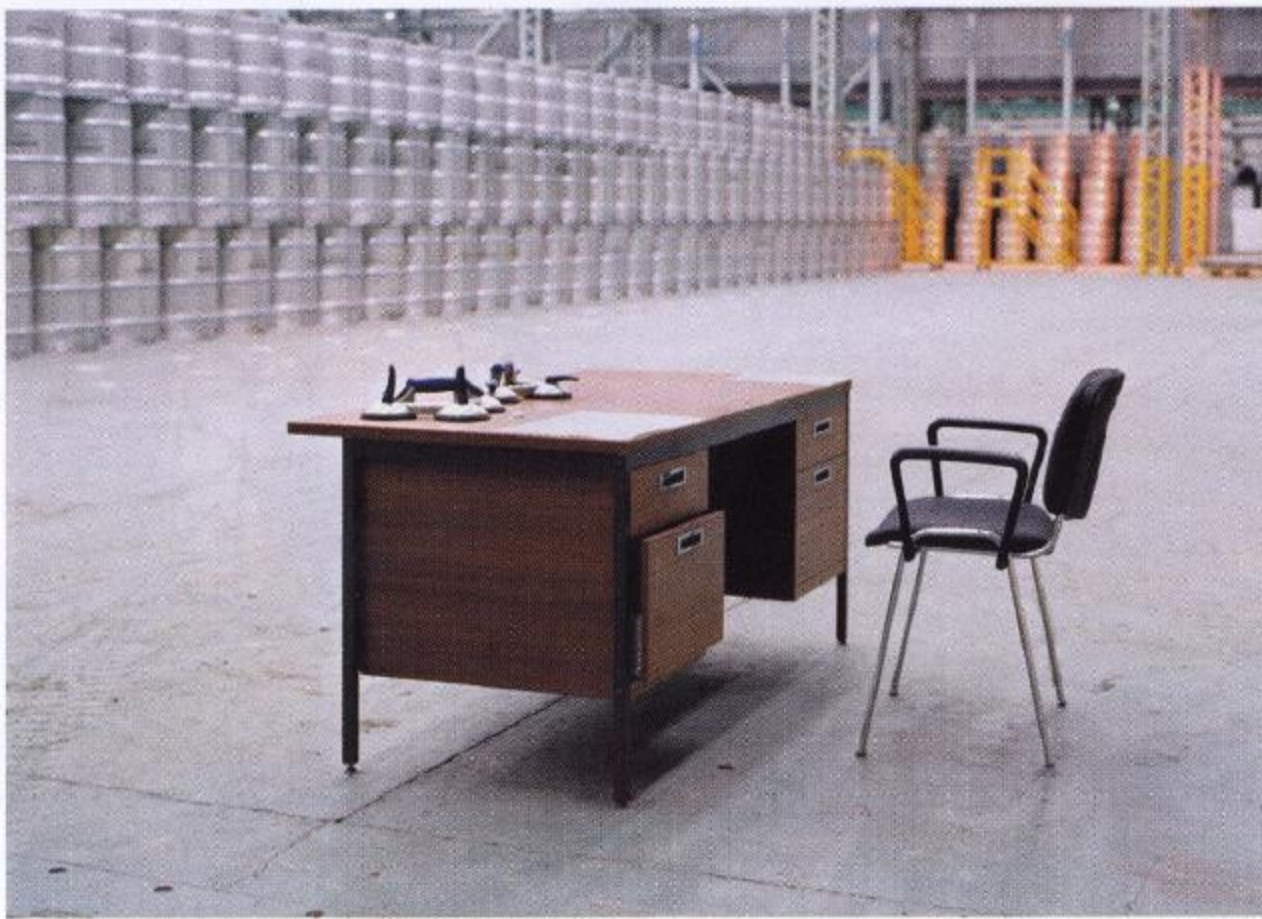
... a takto to robia Nemci: rádioaktívny odpad z jadrovej elektrárne a výskumných reaktorov uložený v solnej bani Asse pri Wolfenbütteli.



Betónové nádrže so slabo vyžarujúcim
rádioaktívnym odpadom v dočasnom
úložisku vo Vlissingen-Oost. Tak sa starajú



V podzemí finského ostrova Olkiluoto sa zatiaľ skladuje len slabo až stredne aktivný jadrový odpad v sudech, ktoré sú zaradené vo veľkých kontajnerech. Čoskoro sa však má v hornine podobnej žule uskladňovať aj vysoko rádioaktivný odpad.



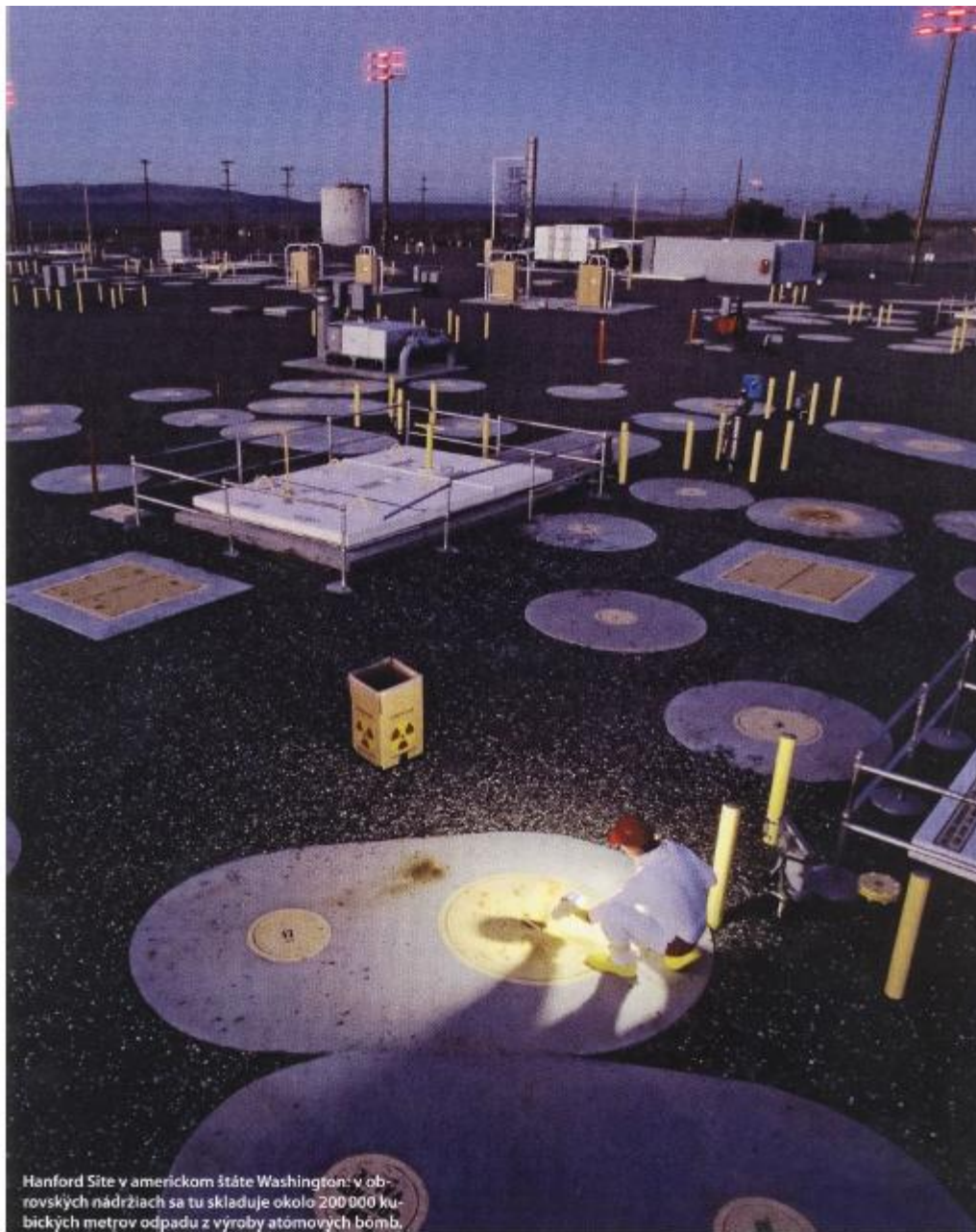
Sudy s atómovým odpadom v britskom Capenhurste vyrovnané v rade a pripravené na prepravu na konečnú skládku, ktorá zatiaľ neexistuje.

Množstvo radioaktívneho odpadu

Okolo roku 2006	250 000 ton
Rok 2010	345 000 ton
Predpoklad v roku 2022	450 000 ton



Ešte pred 15 rokmi sa nukleárny odpad pri francúzskom zariadení na opäťovné spracovanie vyhoreného jadrového paliva La Hague dočasne skladoval pod holým nebom.



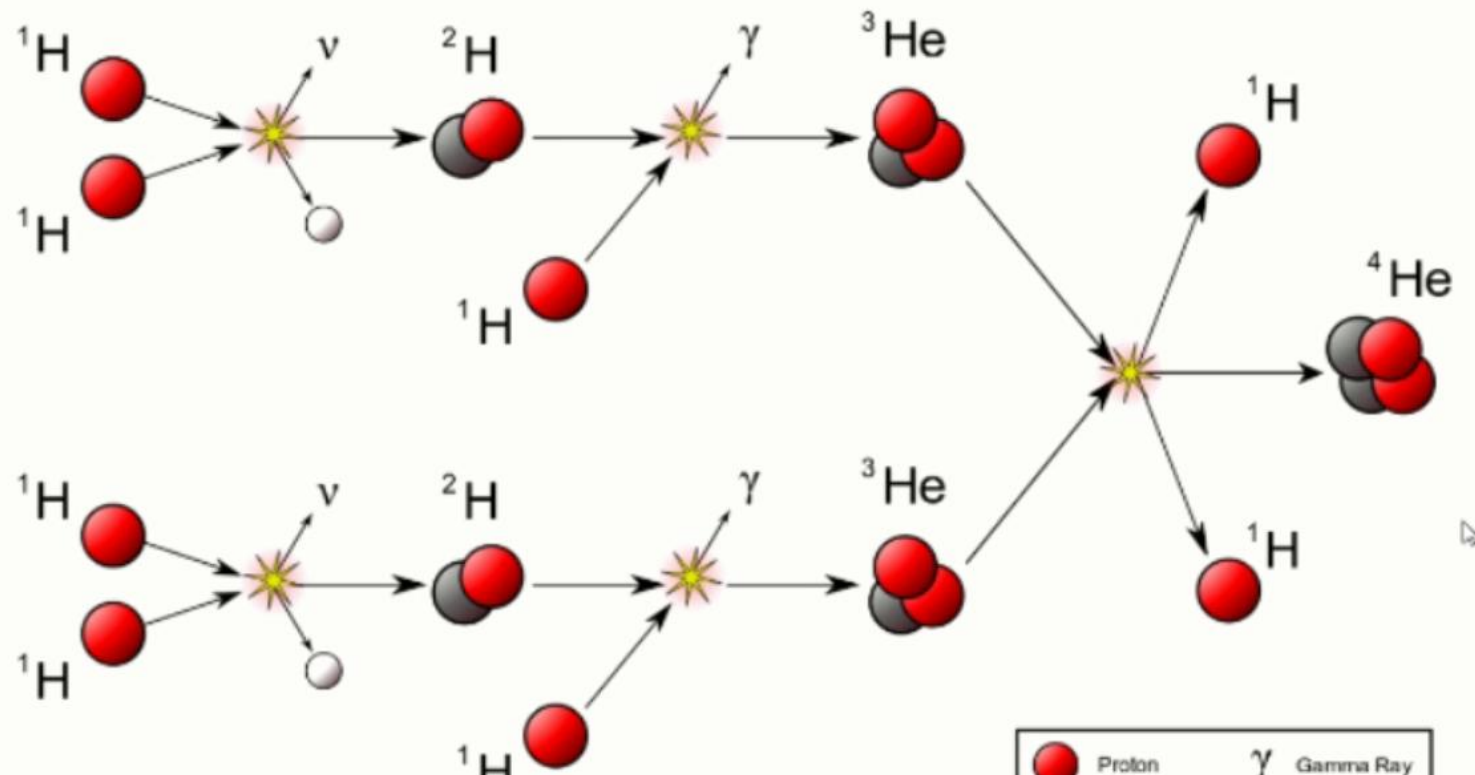
Hanford Site v americkom štáte Washington: v obrovských nádržiach sa tu skladuje okolo 200 000 kubických metrov odpadu z výroby atómových bomb.



Bunker na 300 rokov: nad zemou, za 1,7 metra silným betónom,
skladuje Holandsko svoj vysoko rádioaktívny nukleárny odpad.

► ODHAD CELOSVETOVÝCH ZÁSOB JADROVÝCH HLAVÍC





	Proton		Gamma Ray
	Neutron		Neutrino
	Positron		

(c) Koman ACH 2006/2007

Jednou z cieľov pre bezpečné uskladnenie vysokorádioaktívnych odpadov sú nové **solidifikačné technológie**. Vhodnými solidifikačnými činidlami sú napr. **sklá borokremičitánové**, ktoré vykazujú dobrú chemickú odolnosť. Mimo vysokej chemickej stability, je dôležitá i mechanická pevnosť, tepelná vodivosť a stálosť. Je to preto, lebo **počas uskladnenia rádioaktívneho odpadu sa môže teplota odpadu zvýšiť až na 600°C**. Z týchto dôvodov použitie sklene kryštalických materiálov je výhodné, lebo predčia klasické materiály v chemickej odolnosti, mechanickej pevnosti a tepelnej stálosti. **Príklad takéhoto sklene kryštalického materiálu, ktorý je stabilný do 1300°C** a je vhodný na výrobu kontajnerov na ukladanie rádioaktívneho odpadu má nasledovné zloženie: $\text{SiO}_2 - \text{Al}_2\text{O}_3 - \text{CaO} - \text{MgO} - \text{Fe}_2\text{O}_3 - \text{TiO}_2$.